



БИООРГАНИЧЕСКАЯ ХИМИЯ

том 12 * № 5 * 1986

УДК 547.426.2'18'455.6.02 : 579.873

ТЕЙХОЕВАЯ КИСЛОТА КЛЕТОЧНОЙ СТЕНКИ *ACTINOMADURA CARMINATA* — ПРОДУЦЕНТА АНТИБИОТИКА КАРМИНОМИЦИНА

*Наумова И. Б., Дигимбай К., Потехина Н. В.,
Шашков А. С*, Терехова Л. П**, Преображенская Т. П**.*

Биологический факультет Московского государственного университета
им. М. В. Ломоносова;

*Институт органической химии им. Н. Д. Зелинского Академии наук СССР, Москва;

**Институт по изысканию новых антибиотиков Академии медицинских наук СССР,
Москва

Клеточная стенка *Actinomadura carminata* — продуцента противоопухолевого антибиотика карминомицина — содержит тейховую кислоту полиглицерофосфатной природы. Полимер относится к 1,3-типу, состоит из ~8 глицерофосфатных единиц, две из которых имеют при С2 глицерина 2-ацетамидо-2-дезокси- α -D-галактопиранозильный заместитель, а одна — 3-O-метил- β -D-галактопиранозил-(1 → 3)-2-ацетамидо-2-дезокси- α -D-галактопиранозильный. Строение полимера установлено с помощью химических методов и ^{13}C -ЯМР-спектроскопией. Тейховая кислота составляет ~10% от сухого веса клеточной стенки. 3-O-Метилгалактоза в составе тейховой кислоты обнаружена впервые.

Клеточная стенка актиномицетов, принадлежащих к роду *Actinomadura*, изучена недостаточно. Исследован только пептидогликан некоторых видов, и установлено, что он относится к типу A1 γ [1]. В предыдущей работе мы показали, что 30 исследованных актиномицетов этого рода содержат тейховые кислоты, относящиеся к разным структурным типам [2].

В задачу настоящего исследования входило изучение структуры тейховой кислоты клеточной стенки *Actinomadura carminata* — продуцента противоопухолевого антибиотика карминомицина [3], так как, по предварительным данным, этот полимер содержал 3-O-метил-галактозу, ранее не обнаруженную в тейховых кислотах бактерий.

Клеточную стенку получали дифференциальным центрифугированием разрушенного ультразвуком мицелия, находящегося в начале логарифмической стадии роста. Она содержала 1,24% фосфора глициерофосфатной природы (в продуктах ее кислотного гидролизата обнаружены моно- и дифосфаты глицерина), что могло свидетельствовать о присутствии в ней тейховой кислоты (табл. 1).

Тейховая кислота выделена из клеточной стенки экстракцией раствором трихлоруксусной кислоты (препарат I). Однако выход полимера был небольшим, что затрудняло его анализ. В связи с этим были получены препараты тейховой кислоты из целого мицелия актиномицета двойной обработкой трихлоруксусной кислотой, что существенно увеличило выход полимера. Как видно из табл. 1, выделенные препараты тейховой кислоты (Ia и Iб) близки по составу, содержат значительное количество фосфора (до 10,5%), при кислотном гидролизе образуют моно- и дифосфаты глицерина и набор моносахаридов, среди которых преобладают глюкоза, 3-O-метилгалактоза и галактозамин. Продукты гидролиза идентифицированы с помощью БХ и электрофореза. Для дальнейшего исследования препараты (Ia, б) были объединены.

Предстояло выяснить, какие из обнаруженных моносахаридов входят в состав тейховой кислоты, природу мономерных единиц полимера и тип фосфодиэфирных связей между ними.

Таблица I

Химическая характеристика клеточной стенки *A. carminata*
и препаратов тейхоевых кислот, полученных из мицелия и стенки *

Препарат	Содержание, %				Продукты кислотного гидролиза (2 н. HCl, 3 ч, 100° С)	
	Pобщ	Pнк	Pлаб	Pтк	моносахариды	фосфорные эфиры
Клеточная стенка	1,24		Нет	1,24	Gal, 3MeGal, Man, Glc (сл.)	GroP, GroP ₂
I			Не определено		GalN, 3MeGal, Glc, Man (сл.)	GroP, GroP ₂
IIa	10,00	0,10	0,50	9,40	GalN, 3MeGal, Glc, Man (сл.), Gal (сл.)	GroP, GroP ₂
IIb	10,50	0,45	0,50	9,85	GalN, 3MeGal, Glc, Man (сл.)	GroP, GroP ₂

* Gro P — монофосфат глицерина, Gro P₂ — дифосфат глицерина, GalN — галактозамин, 3MeGal — 3-О-метилгалактоза, Glc — глюкоза, Man — манноза, Gal — галактоза, Pобщ — общее содержание фосфора, Pнк — фосфор нуклеиновых кислот, Pлаб — фосфор, минерализуемый за 7 мин (1 н. HCl, 100° С), Pтк = Pобщ — (Pнк + Pлаб) — фосфор тейхоевых кислот, сл — следственные количества.

Тейхоевая кислота была очищена ионообменной хроматографией на DEAE-целлюлозе (Cl-форма) в линейном градиенте NaCl. Основное количество фосфорных соединений элюировали 0,35—0,45 М NaCl в виде одной фракции, которую подвергли гель-фильтрации на сефадексе G-25 и лиофилизировали. При кислотном гидролизе соединений, входящих в состав этой фракции, обнаружены фосфорные эфиры глицерина, галактозамин и 3-О-метилгалактоза. Глюкоза, исходно присутствующая в гидролизате препаратов (IIa, b), во фракции не найдена и, таким образом, не является компонентом тейхоевой кислоты. Согласно данным электрофореза, очищенный материал содержит две тейхоевые кислоты (A и B), которые имеют разную подвижность в электрическом поле (E_{GroP} для кислоты A — 0,9, для кислоты B — 1,15). Параллельно было проведено электрофоретическое исследование тейхоевой кислоты, полученной из клеточной стенки (препарат I). Выяснено, что клеточная стенка содержит только тейхоевую кислоту A. Полимеры A и B выделены с помощью электрофореза в препаративном масштабе и исследованы отдельно по обычной схеме анализа тейхоевых кислот [4].

Кислотный гидролиз тейхоевой кислоты A (2 н. HCl, 3 ч, 100° С) привел к образованию моно- и дифосфатов глицерина, 3-О-метилгалактозы, галактозамина, глицерина и неорганического фосфора (P_i). Продукты гидролиза идентифицировали с помощью БХ и электрофореза. Галактозамин был идентифицирован дополнительным окислением нингидрином в пиридине [5] с последующим определением образовавшейся ликсозы с помощью БХ.

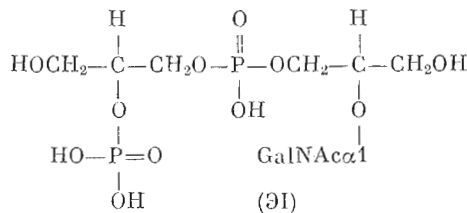
В щелочном гидролизате (1 н. NaOH, 3 ч, 100° С) с помощью БХ и электрофореза обнаружены изомерные моно- и дифосфаты глицерина, два гликозида (ГI и ГII), глицерин, P_i , а также несколько фосфодиэфиров глицерина, среди которых преобладали два (ЭI и ЭII).

Гликозид (ГI) имел положительный заряд и электрофоретическую подвижность $E_{Gro} 5,7$, детектировался нингидрином, в продуктах его гидролиза (6 н. HCl, 4 ч, 100° С) обнаружены глицерин и галактозамин в мольном соотношении 1,00 : 0,87. При периодатном окислении не зафиксировано образование формальдегида, что указывало на расположение гликозидной связи при C2 глицерина и пиранозную форму моносахарида. На основании данных спектра ^{13}C -ЯМР (см. ниже) об α -конфигурации гликозидного центра аминосахара нами сделан вывод, что гликозид (ГI) является 2-(2-амидо-2-дезокси- α -D-галактопиранозил)глицерином.

Гликозид (ГII) был электрофоретически нейтрален, при хроматографировании в системе Б имел подвижность $R_{Glc} 0,82$, не окрашивался нингидрином, в продуктах гидролиза (6 н. HCl, 4 ч, 100° С) обнаружены глицерин, галактозамин и 3-О-метилгалактоза в соотношении 1,00 : 0,90 :

1,06, при периодатном окислении формальдегид не обнаружен. Исходя из этих данных и учитывая данные спектроскопии ^{13}C -ЯМР о дисахариде (см. ниже), пиранозной форме моносахаридов в нем и конфигурации гликозидных центров, мы считаем, что (ГII) имеет строение 2-[3-О-метил- β -D-галактопиранозил-(1 \rightarrow 3)-2-ацетамидо-2-дезокси- α -D-галактопиранозил]-глицерина.

Эфир (ЭI) имел электрофоретическую подвижность E_{GroP} 0,94, не окрашивался нингидрином. При кислотном гидролизе (2н. HCl, 3 ч, 100° С) он образовал моно- и дифосфаты глицерина, галактозамин, глицерин и P_i . Фосфомоногидратаза отщепляла 50% общего фосфора. Мольное соотношение компонентов P_i — GalN — Gro, 1,00 : 0,60 : 1,20. Результаты анализа строения эфира, присутствие гликозида (ГI) среди продуктов щелочного гидролиза полимера, а также данные о механизме гидролиза тейхоевых кислот [6] позволяют приписать эфиру (ЭI) следующую формулу:



Эфир (ЭII) имел электрофоретическую подвижность E_{GroP} 0,78 и давал отрицательный ответ на нингидриновый тест; при кислотном гидролизе образовывал дифосфат глицерина, галактозамин, гликозид (ГI), 3-О-метилгалактозу и следовые количества монофосфата глицерина, глицерина и P_i . Нами не определено мольное соотношение компонентов в этом эфире, так как его не удалось очистить от небольшой примеси сопутствующего другого эфира ни БХ, ни электрофорезом. Небольшая электрофоретическая и хроматографическая подвижности эфира (ЭII) — R_{GroP_2} 0,32 (A), а также набор продуктов кислотного гидролиза свидетельствовали о его большой молекулярной массе. Исходя из этих данных, мы приходим к выводу, что эфир (ЭII) является также фосфодиэфиром глицерина, который содержит два гликозильных заместителя — N-ацилгалактозаминильный и 3-О-метилгалактозильный.

Отрицательная реакция с нингидрином гликозида (ГII) и эфиров (ЭI и ЭII) указывала на замещение аминогруппы галактозамина ацильным остатком. Отсутствие последнего в гликозиде (ГI) может быть объяснено частичным отщеплением этой группы при щелочном гидролизе, что наблюдалось нами и ранее [4].

Определение мольного отношения P — GalN — 3MeGal в полимере показало, что оно равно 1,00 : 0,38 : 0,13. Длина цепи определена с помощью фосфомоногидратазы, найдено соотношение $P_{\text{общ}} — P_i$ 7,9 : 1,0, из чего следует, что цепь имеет ~ 8 глицерофосфатных звеньев.

Вопрос о типе фосфодиэфирной связи между ними решен на основании анализа строения эфиров (ЭI) и (ЭII). Присутствие в продуктах щелочного гидролиза полимера фосфодиэфиров глицерина с гликозильными заместителями говорило в пользу 1,3-поли(глицерофосфатной) цепи, что следует из механизма гидролиза тейхоевых кислот аналогичной структуры [6].

Таким образом, данные анализа кислотной и щелочной деградации тейхоевой кислоты A свидетельствовали о том, что исследуемый полимер является 1,3-поли(глицерофосфатом), состоящим из 8 глицерофосфатных единиц и имеющим два гликозильных заместителя — N-ацилгалактозаминильный и 3-О-метилгалактозильный в соотношении 3 : 1. Идентификация среди продуктов щелочного гидролиза моно- и дифосфатов глицерина указывала на присутствие в цепи глицериновых единиц со свободными оксигруппами.

Не исключено наличие в клеточной стенке гетерогенных цепей, имеющих неодинаковое количество гликозильных заместителей.

Однако оставались невыясненными конфигурация гликозидных центров заместителей и положение 3-О-метилгалактозильного остатка.

Кислотный гидролиз тейхоевой кислоты *B* привел к образованию изомерных моно- и дифосфатов глицерина, глицерина и *P_i*, а при щелочном его гидролизе в добавление к указанным соединениям обнаружен диглицеринтрифосфат, идентифицированный БХ в системе А и электрофоретически. Присутствие этого эфира в продуктах щелочной деградации полимера, а также отсутствие моносахаридов в кислотном гидролизате свидетельствуют о том, что тейхоевая кислота *B* представляет собой незамещенный поли(глицерофосфат) 1,3-типа [7].

Как мы указывали выше, тейхоевая кислота *B* не была обнаружена в клеточной стенке и, вероятно, является поли(глицерофосфатной) цепью липотейхоевой кислоты, возможно, присутствующей в этом актиномицете. Дальнейшего исследования этого полимера мы не проводили.

Итак, результаты структурного анализа тейхоевых кислот *A* и *B* показали, что оба полимера имеют поли(глицерофосфатные) цепи 1,3-типа, причем тейхоевая кислота *B* не имеет заместителей. Это обстоятельство позволило нам использовать смесь тейхоевых кислот, очищенных на DEAE-целлюлозе, для ¹³C-ЯМР-анализа полимера *A*, так как присутствие в препарате тейхоевой кислоты *B* не мешало интерпретации спектральных данных.

В спектре ¹³C-ЯМР тейхоевой кислоты в области 50—110 м.д. зафиксирован ряд сигналов, существенно различающихся по интегральной интенсивности и ширине линий (рис. 1). Наиболее интенсивные сигналы представлены двумя уширенными пиками с химическими сдвигами 67,5 и 70,8 м.д. и соотношением интегральных интенсивностей 2 : 1 соответственно. В спектре ¹³C-ЯМР, снятом в условиях сохранения спин-спинового взаимодействия углеродов с протонами (GD-спектр), первый сигнал имеет тройное расщепление (CH_2 -группы), второй — дублетное (CH -группы). По расположению в спектре, характеру расщепления и по характерному уширению за счет спин-спинового взаимодействия атомов углерода и фосфора эти два сигнала (67,5 и 70,8 м.д.), несомненно, относятся к углеродам метиленовых и метиновых групп в незамещенной 1,3-поли(глицерофосфатной) цепи [8].

В спектре имеются еще три уширенных сигнала значительно меньшей интенсивности с химическими сдвигами 76,9 м.д. (дублет в GD-спектре), 66,4 и 65,7 м.д. (тройные в GD-спектре). Такие сигналы характерны для 1,3-поли(глицерофосфатной) цепи, замещенной по положениям С2 глицерина углеводными остатками [4]. α -Эффект гликозилирования обуславливает слабопольный сдвиг сигнала С2 остатка глицерина, β -эффект — сильнопольный сдвиг сигналов С1 и С3. Асимметрическое замещение НО-группы у С2 глицерина вызывает магнитную неэквивалентность атомов С1 и С3 у гликозилированных остатков глицерина. Спектр гликозилирующего сахарного остатка представлен в указанной выше области спектра шестью узкими сигналами, два из которых лежат в характеристических областях спектра: 98,4 м.д. (область резонанса аномерных атомов углерода пираноз) и 50,9 м.д. (область резонанса атомов углерода, связанных с азотом). В GD-спектре сигнал при 98,4 м.д. имеет дублетное расщепление с константой спин-спинового взаимодействия (КССВ) $^1J_{\text{C}_1-\text{H}_1}$ 171 Гц, что доказывает α -конфигурацию гликозидного центра пиранозы [9]. Наличие в сильно- и слабопольной области спектра двух характерных сигналов при 23,4 и 177 м.д. (наряду с упомянутым выше сигналом при 50,9 м.д.) свидетельствует о том, что сахарный остаток представляет собой α -ацетамидолиранозу [10]. Сравнение данных спектра рассматриваемой пиранозы со спектром метил- α -D-2-ацетамидо-2-дезоксигалактопиранозида [11] окончательно подтверждает приведенный выше моносахаридный состав.

Серия наименее интенсивных сигналов представлена в области 50—110 м.д. 13 сигналами примерно равной интенсивности. Один из них (105,7 м.д.) находится в области резонанса аномерных атомов углерода и в GD-спектре имеет КССВ $^1J_{\text{C}_1-\text{H}_1}$ 161 Гц. По величине КССВ этот сигнал

Рис. 1. ^{13}C -ЯМР-спектр тей-
ховой кислоты *A. carminalis*

Рис. 2. Тейховая кислота
клеточной стенки *A. carminalis*

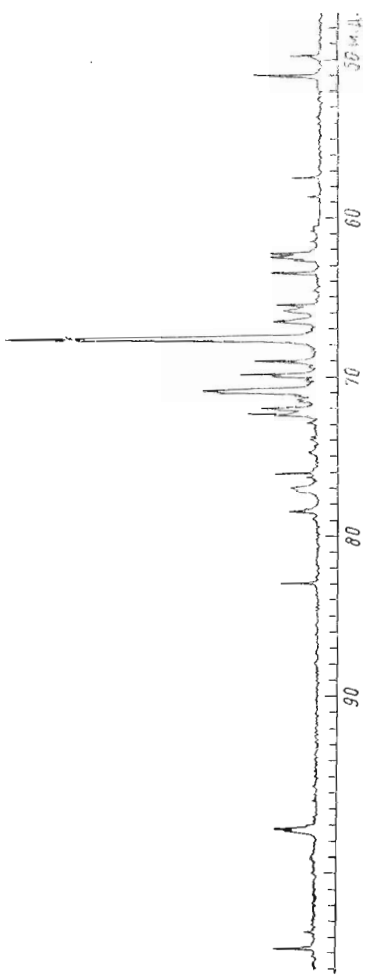


Рис. 1

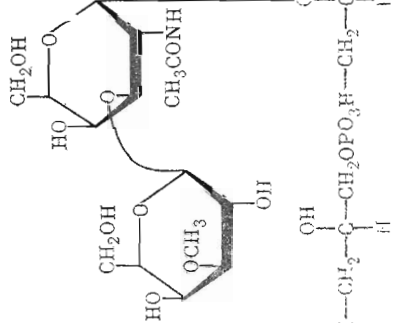


Рис. 2

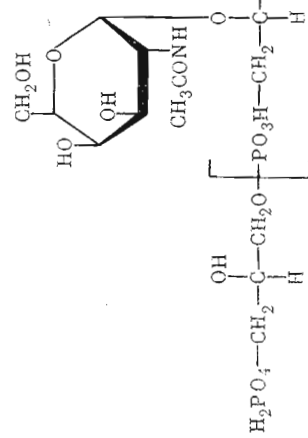


Таблица 2

Химические сдвиги атомов углерода в спектрах ^{13}C -ЯМР тейхоевой кислоты клеточной стенки *A. carminata* и модельных соединений

Соединение	C1	C2	C3	C4	C5	C6	3OMe	CH ₃ CO
Фрагменты молекулы								
$\text{---} \left(\begin{smallmatrix} 1 & \text{Gro}3P \\ 2 & \end{smallmatrix} \right)_m \text{---}$	67,5	70,8	67,5					
$\text{---} \left(\begin{smallmatrix} 1 & \text{Gro}3P \\ 2 & \end{smallmatrix} \right)_n \text{---}$	66,4	76,9	65,7					
D-GalNAcp α 1	98,4 *	50,9	68,9	69,8	72,3	62,4		23,7 177,0
$\text{---} \left(\begin{smallmatrix} 1 & \text{Gro}3P \\ 2 & \end{smallmatrix} \right)_q \text{---}$	66,4	76,9	65,7					
D-GalNAcp α 1	98,2 * (98,3)	49,7 (49,9)	78,4 (79,1)	69,9 (69,6)	71,9 (72,0)	62,2 (62,4) ***		23,4 177,0
D-3MeGalp β 1	105,7 **	71,9	82,9	65,5	76,0	62,2	57,4	
Модельные соединения								
GalNAc α Me	99,4	51,1	69,1	69,8	71,6	62,4		
3MeGalp β Me	105,1	71,0	83,3	65,5	76,2	62,3	57,4	

* KCCB ${}^1J_{\text{C1}-\text{H1}}$ 171 Гц. ** KCCB ${}^1J_{\text{C1}-\text{H1}}$ 161 Гц. *** В скобках приведен спектр замещенного остатка, рассчитанный исходя из спектра незамещенного, с учетом эффектов гликозилирования по HO-группе при C3 α -D-галактопиранозы β -D-галактопиранозой (эффекты получены из анализа данных работы [17]).

может принадлежать только пиранозе с экваториальным аллоксизаместителем при С1 [9], а по значению химического сдвига — только пиранозе с конфигурацией β -галактозы или β -глюкозы [12]. Второй характеристический сигнал этой серии находится при 57,4 м.д., он имеет квартетное расщепление в GD-спектре, т. е. принадлежит CH_3O -группе. Хотя сигналы этой группы в пиранозах занимают довольно узкую область спектра ^{13}C -ЯМР (57—63 м.д.) [13—15], их положение внутри указанной области зависит от взаимной ориентации замещенной и соседних НО-групп. Химический сдвиг ~ 57 м.д. указывает на экваториальное расположение CH_3O -группы, а одна из соседних гидроксигрупп является аксиальной в пиранозном цикле. Из двух рассматриваемых пираноз (β -глюко- и β -галактопираноза) только в последней возможна описанная ситуация, если О-метильная группа находится при С3. Таким образом, вторая пираноза является 3-О-метил- β -галактопиранозой. Привлечение спектра модельного соединения — метил-3-О-метил- β -D-галактопиранозида [16] позволяет найти все семь сигналов рассматриваемого остатка в спектре тейхоевой кислоты (табл. 2).

Тип связи остатка 3-О-метил- β -галактопиранозы становится очевидным при рассмотрении подспектра, образуемого шестью оставшимися сигналами малой интенсивности. Один из них находится в характеристической области резонанса атомов углерода, связанных с азотом (49,7 м.д.) и, очевидно, принадлежит остатку 2-ацетамидо-2-дезокси- α -D-галактопиранозы. Его смещение в сильное поле по сравнению с сигналом 50,9 м.д. как раз отвечает β -эффекту замещения по HO -группе при C3 галактопиранозы другой пиранозой с β -конфигурацией гликозидного центра и той же самой абсолютной конфигурацией, что и гликозилирующая пираноза [12]. Таким образом, часть остатков 2-ацетамидо-2-дезокси- α -галактопиранозы замещена в тейхоевой кислоте остатками 3-О-метил- β -галактопиранозы и оставшиеся шесть сигналов относятся за счет резонанса этого замещенного остатка. Отнесение рассматриваемых сигналов (см. табл. 2)

полностью подтверждает тип замещения. Анализ интегральных интенсивностей сигналов в различных рассмотренных сериях позволяет оценить соотношение q , n и t как 1 : 2 : 9.

Таким образом, тейхоевая кислота A клеточной стенки $A. carminata$ является 1,3-поли(глицерофосфатом), состоящим из 8 глицерофосфатных звеньев. Две глицерофосфатные единицы замещены по C2-OH 2-ацетамидо-2-дезокси- α -D-галактопиранозильным остатком, а одна — 3-O-метил- β -D-галактопиранозил-(1 → 3)-2-ацетамидо-2-дезокси- α -D-галактопиранозильным остатком. Пять глицерофосфатных единиц имеют свободные оксигруппы. Тейхоевая кислота установленной структуры обнаружена впервые в клеточных стенках грамположительных бактерий (рис. 2). Кроме того, клетки исследуемого актиномицета содержат свободный 1,3-поли(глицерофосфат) (полимер B), вероятно, являющийся продуктом деградации липотейхоевой кислоты.

Экспериментальная часть

Исследуемую культуру $A. carminata$ ИНА 4281 [18] предварительно выращивали на овсяном скошенном агаре при 28° С и сохраняли при 20° С. Агаровые блоки с выросшей культурой вносили в колбы Эrlenмейера объемом 500 мл, содержащие 150 мл среды Гаузе № 2. Колбы инкубировали на качалке (200 об/мин) при 28° С. Двухсуточную культуру использовали в качестве посевного материала для инокуляции аналогичных колб со средой того же состава. Культуру выращивали в тех же условиях в течение 1,5—2,5 сут. Чистоту культуры контролировали микроскопированием и высевом на агаризованные среды Гаузе № 1 и 2 [19]. Мицелий отделяли от среды центрифугированием при 3000 об/мин (15 мин), промывали 0,95% NaCl и делили на две части. Одну часть промывали спиртом, ацетоном и эфиром и использовали для выделения тейхоевой кислоты. Из второй части мицелия получали клеточные стенки путем разрушения его в ультразвуковом дезинтеграторе УЗДН-1 (СССР) при 22 кГц 2—3 раза по 2 мин при 4° С. Все последующие операции проводили по методу, описанному в работе [4]. P_i , $P_{\text{общ}}$, $P_{\text{нк}}$, $P_{\text{лаб}}$ определяли как описано в работе [4]; глицерин — по методу Ханахана [20], галактозамин — по Гладышеву [21], сахара — с анtronом.

БХ и электрофорез проводили на бумаге «Filtrak FN-13» (ГДР), промытой для препаративных целей 2 н. уксусной кислотой и дистиллированной водой. Для нисходящей хроматографии использовали следующие системы растворителей: пропиловый спирт — NH_4OH (ρ 0,88) — вода, 6 : 3 : 1 (А) для разделения фосфорных эфиров и их изомеров; пиридин — бензол — бутиловый спирт — вода, 3 : 1 : 5 : 3 (Б) для разделения гликозидов, глицерина, моносахаридов и галактозамина; пиридин — этилацетат — вода — уксусная кислота, 5 : 5 : 3 : 1 (В) для разделения аминосахаров.

Электрофорез фосфорных эфиров и тейхоевых кислот, а также галактозамина и гликозида (ГІ) выполняли в пиридин-ацетатном буфере (рН 5,5—5,6; 4 ч, 20 В/см) [4]. Тейховую кислоту и фосфорные эфиры обнаруживали реагентом Ишервуда; галактозамин и гликозид (ГІ) — нингидрином; гликозиды и моносахариды — 5% AgNO_3 в NH_4OH ; моносахариды — анилинфталатом.

В работе использована щелочная фосфатаза (КФ 3.1.3.1, Sigma, США). ^{13}C -ЯМР-спектры раствора тейховой кислоты в D_2O снимали при 40° С на приборе Bruker AM-300 (ФРГ) с рабочей частотой по углероду 75 МГц. Химические сдвиги измерены относительно CH_3OH (внутренний стандарт, 50,15 м.д. от Me_3Si) и пересчитаны относительно Me_3Si .

Выделение тейховой кислоты. К клеточной стенке или высушенному мицелию добавляли трихлоруксусную кислоту (20 : 1 объем/вес) и оставляли при постоянном перемешивании на 24 ч. Остатки стенок или мицелия удаляли, а к каждому супернатанту добавляли четыре объема 96% этанола и оставляли на холоде на 24 ч. Выпавшие осадки собирали центрифугированием, растворяли в холодной воде, диализовали против дис-

тиллированной воды и лиофильно высушивали. Получили из 550 мг клеточной стенки 15 мг препарата I, из 50 г мицелия — 380 мг препарата IIa. К остаткам мицелия снова добавляли раствор трихлоруксусной кислоты, операцию повторяли как описан выше. Получили 60 мг препарата IIb. После анализа препараты IIa и IIb объединили.

Очистка тейховой кислоты. Раствор 100 мг тейховой кислоты (препарат II) в 1 мл 0,01 М трис-HCl-буфера (рН 7,1) помещали на DEAE-целлюлозу (Cl^- -форма, колонка 16×570 мм). Колонку промывали буфером того же состава (300 мл) и материал хроматографировали в том же буфере в линейном градиенте NaCl ($0 \rightarrow 0,5$ М, общий объем 700 мл) со скоростью 15 мл/ч, отбирая по 4 мл элюата. В аликоватах фракций определяли фосфор по методу [22] исахар. Получили 56 мг очищенной тейховой кислоты, порцию которой (20 мг) разделили с помощью электрофореза на полимеры A (13 мг) и B (4 мг).

Кислотный и щелочная гидролизы тейховой кислоты, а также определение длины цепи полимера ферментативным методом проводили как описано в работе [4].

Исследование продуктов щелочного гидролиза тейховой кислоты. Моно- и дифосфаты глицерина, а также диглицеринтрифосфат идентифицировали с помощью электрофореза и БХ в системе А сравнением со стандартными образцами.

Изучение гликозидов. Гликозид (ГI) получили из щелочного гидролизата тейховой кислоты (препарат II) разделением его соединений электрофоретически ($E_{\text{Gro}} + 5,7$), а гликозид (ГII) — разделением того же гидролизата БХ в системе Б ($R_{\text{GIC}} 0,82$). Гликозиды элюировали с бумаги водой и элюат упаривали досуха; $\sim 0,5$ мг гликозида гидролизовали (6 н. HCl, 6 ч, 100° С в запаянном капилляре). Образовавшиеся продукты исследовали БХ в системе Б и В. Для определения мольных соотношений соединений, входящих в гликозиды, их гидролизовали в тех же условиях, гидролизат упаривали, остаток растворяли в 2 мл воды и в аликоватах определяли мольное соотношение компонентов.

Изучение фосфодиэфиров. Фосфорные эфиры, образовавшиеся при щелочной деградации тейховой кислоты, после разделения электрофоретически и затем БХ в системе А элюировали водой. Сухой остаток эфира гидролизовали (2 н. HCl, 3 ч, 100° С), гидролизат упаривали и образовавшиеся продукты исследовали с помощью БХ в системах А, Б, В и электрофоретически. Для энзиматического дефосфорилирования к сухому остатку эфира (ЭI) добавляли щелочную фосфатазу в аммоний-ацетатном буфере (рН 10,4) и выдерживали в термостате 2 ч при 37° С. В гидролизате определяли $P_{\text{общ}}$ и P_i . Для определения мольных соотношений компонентов сухой остаток эфира (ЭI) гидролизовали (6 н. HCl, 6 ч, 100° С), кислоту упаривали, нейтрализованный гидролизат обрабатывали щелочной фосфатазой, как описано выше, и в аликоватах гидролизата определяли P_i , глицерин и галактозамин.

ЛИТЕРАТУРА

1. The Biology of Actinomycetes/Eds Goodfellow M., Mordarski M., Williams S. T. London: Acad. Press, 1984.
2. Потехина Н. В., Терехова Л. П., Преображенская Т. П., Наумова И. Б. Микробиология, 1985, т. 54, № 4, с. 545—548.
3. Противоопухолевый антибиотик карминомицин и его применение в клинике. Сб. научных трудов/Ред. Гаузе Г. Ф. М.: Онкологический научный центр АМН СССР, 1980.
4. Наумова И. Б., Шашков А. С., Скобликова Н. К., Агре Н. С., Романов В. В. Биоорган. химия, 1982, т. 8, № 6, с. 848—856.
5. Stoffyn P. J., Jeanloz R. W. Arch. Biochem. and Biophys., 1954, v. 52, № 2, p. 373—379.
6. Дмитриева Н. Ф., Наумова И. Б., Стрешинская Г. М., Панина Л. И. Биоорган. химия, 1976, т. 2, № 6, с. 815—821.
7. Скобликова Н. К., Агре Н. С., Шашков А. С., Наумова И. Б. Биоорган. химия, 1982, т. 8, № 6, с. 857—862.
8. De Boer W. R., Wouters J. T. M., Anderson A. J., Archibald A. R. Eur. J. Biochem., 1978, v. 85, № 2, p. 433—436.

9. Bock K., Lundt I., Pedersen C. Tetrahedron Lett., 1973, № 13, p. 1037—1040.
10. Шашков А. С., Чижов О. С. Биоорган. химия, 1976, т. 2, № 4, с. 437—497.
11. Деревицкая В. А., Шашков А. С., Новикова О. С., Евстигнеев А. И. Биоорган. химия, 1981, т. 7, № 3, с. 410—421.
12. Kochetkov N. K., Chizhov O. S., Shashkov A. S. Carbohydr. Res., 1984, v. 133, № 2, p. 173—185.
13. Abbas S. A., Haines A. H., Wells A. G. J. Chem. Soc. Perkin Trans 1, 1976, p. 1351—1357.
14. Шашков А. С., Гришковец В. И., Чирва В. Я. Биоорган. химия, 1982, т. 8, № 10, с. 1393—1399.
15. Шашков А. С., Гришковец В. И., Земляков А. Е., Чирва В. Я. Биоорган. химия, 1984, т. 10, № 1, с. 88—92.
16. Шашков А. С., Усов А. И., Яроцкий С. В. Биоорган. химия, 1978, т. 4, № 4, с. 74—81.
17. Messer M., Trifonoff E., Stern W., Collins J. G., Bradbury J. H. Carbohydr. Res., 1980, v. 83, № 2, p. 327—334.
18. Гаузе Г. Ф., Свешникова М. А., Ухолина Р. С., Гаврилина Г. Е., Филичева В. А., Гладких Е. Г. Антибиотики, 1973, № 8, с. 675—678.
19. Гаузе Г. Ф., Преображенская Т. П., Свешникова М. А., Терехова Л. П., Максимова Т. С. Определитель актиномицетов. Роды Streptomyces, Streptoverticillium, Chainia. М.: Наука, 1983.
20. Hanahan D. J., Ölley J. N. J. Biol. Chem., 1958, v. 231, № 2, p. 813—828.
21. Гладышев Б. Н. Биохимия, 1959, т. 24, № 2, с. 789—793.
22. Hess H. H., Derr J. E. Anal. Biochem., 1975, v. 63, p. 607—613.

Поступила в редакцию
6.VIII.1985

CELL WALL TEICHOIC ACID OF *ACTINOMADURA CARMINATA* PRODUCING ANTIBIOTIC CARMINOMYCIN

NAUMOVA I. B., DIGUIMBAYE K., POTEKHINA N. V.,
SHASHKOV A. S.*; TEREKHOVA L. P.**, PREOBRAZHENSKAYA T. P.**

M. V. Lomonosov Moscow State University, Moscow; *N. D. Zelinsky Institute of Organic Chemistry, Academy of Sciences of the USSR, Moscow; **Institute of New Antibiotics, Academy of Medical Sciences of the USSR, Moscow

The cell walls of *Actinomadura carminata*, producing the antibiotic carminomycin, contain a poly(glycerol phosphate) teichoic acid. The polymer belongs to 1,3-type and consists of about 8 glycerol phosphate units, two of them have 2-acetamido-2-deoxy- α -D-galactopyranosyl substituent and one — 3-O-methyl- β -D-galactopyranosyl-(1 \rightarrow 3)-2-acetamido-2-deoxy- α -D-galactopyranosyl residue at C2 of glycerol. The structure of the polymer was established by chemical analysis and ^{13}C -NMR spectroscopy. The teichoic acid accounted for about 10% of the cell wall dry weight. 3-O-methylgalactose in the structure of the teichoic acid was found for the first time.